



Investigation of the Motive Steam Pressure Effect on Performance and Reverse Flows in Sugar Factory Thermo-compressor: Validation and Numerical Study

A. Rezvanivand fanaei^{1*}, A. Hassanpour¹, A. M. Nikbakht²

1- Assistant Professor, Biosystems Engineering Department, Faculty of Agriculture, Urmia University, Urmia, Iran

2- Professor, Biosystems Engineering Department, Faculty of Agriculture, Urmia University, Urmia, Iran

(*- Corresponding Author Email: a.rezvanivand@urmia.ac.ir)

DOI: [10.22067/jam.2021.68318.1010](https://doi.org/10.22067/jam.2021.68318.1010)

Received: 13-01-2021

Revised: 05-05-2021

Accepted: 22-05-2021

Available Online: 22-05-2021

How to cite this article:

Rezvanivand fanaei, A., A. Hassanpour, and A. M. Nikbakht. 2022. Investigation of the Motive Steam Pressure Effect on Performance and Reverse Flows in Sugar Factory Thermo-compressor: Validation and Numerical Study. Journal of Agricultural Machinery 12 (3): 379-397. (In Persian). DOI: [10.22067/jam.2021.68318.1010](https://doi.org/10.22067/jam.2021.68318.1010)

Introduction

Thermo-compressors or ejectors are used to enhance the vapor enthalpy in the process industry. The low costs of construction and maintenance, and simple structure, have increased by using this equipment in relevant fields of industry and agriculture. The thermo-compressor's inlet parameters, including the thermodynamic properties of the motive steam and suction vapor, are the foremost affecting factor of a thermo-compressor.

The steam used in processing factories loses its capability after passing through evaporators due to the reduction of pressure and temperature, gets cooled again, and returns to the boiler despite having a moderate energy level. Therefore, the use of vapor-recovery equipment can increase the efficiency of energy systems. That will lead to a significant reduction in greenhouse gas emissions and harmful environmental effects, which increase the lifetime of energy resources.

Materials and Methods

The realizable k- ϵ turbulence model is used to simulate turbulence within the flow. The thermo-compressor geometry has meshed in 2D and 3D modes to apply the conservation laws. For this purpose, quadratic (quad) and hexahedral (hex) types are used for two and three-dimensional meshing, respectively. Structured meshes have a high ability to obtain numerical results due to creation of structural meshes in the flow direction.

The axisymmetric structure of the thermo-compressor leads to a half simulation of geometry. The thermodynamic properties of the input flows and their variations in the output, such as pressure, velocity, Mach number, and mass ratios for different motive steam pressure are extracted and discussed.

Results and Discussion

Different levels of meshes are examined to investigate the mesh-independence test. In axisymmetric two-dimensional analysis, these levels include 33460, 51340, 78620, and 103590 cells, respectively. The relatively insignificant difference in motive flow for the third and fourth mesh levels (which proves less than 5%) clearly shows the independence of the results from the mesh size. Regarding the time considerations, the grid with 78,620 meshes was used in the simulations.

The experimental data from the article by Sriveerakul *et al.* (2007) are used to validate the numerical results of the present work. Validation shows that the results obtained from the simulations are in good agreement with the experimental data. Since the final results of the two-dimensional analysis are very close to the three-dimensional one, the first one is selected due to the time considerations and higher computational costs of the three-dimensional mesh analysis.

Considering the problem conditions, pressures of 10 and 15 bars are appropriate for practical application. Since the 15 bar motive stem creates a longer development length in the diffuser section, it is a better choice. At this level (15 bar), the temperature field within the thermo-compressor is well distributed in the presence of ideal temperature conditions. The ideal velocity distribution within the thermo-compressor and the uniformity of the motive and suction flows indicate the high performance of the thermo-compressor in these operating conditions. Applying the motive steam of 15 bars, the values of 0.59 and 0.41 for the motive and suction mass ratios of the diffuser output were achieved, respectively.

Conclusion

Geometrically, the study was examined in asymmetrical two-dimension and three-dimension. It was observed that there is a slight difference between the two analysis modes by comparing the velocities along the longitudinal line of the thermo-compressor. Therefore, to save computational and time costs, results are presented for the axisymmetric two-dimensional mode.

The effect of 4 levels of motive steam pressure on the thermodynamic properties within the computational domain, including pressure, temperature, velocity, Mach number, mass ratios of both motive steam, and suction vapor are evaluated. Finally, the values of the performance curve for steam with motive pressures of 3.7, 5, 10, and 15 bars are presented.

Keywords: Entrainment ratio, Mach number, Suction flow, Sugar processing

مقاله پژوهشی

جلد ۱۲، شماره ۳، پاییز ۱۴۰۱، ص ۳۷۹-۳۹۷

بررسی تاثیر فشار بخار محرک بر روی عملکرد و جریان‌های بازگشتی ترموکمپرسور کارخانه

قند: اعتبارسنجی و مطالعه عددی

عادل رضوانی وند فنائی^{۱*}، علی حسن پور^۱، علی محمد نیکبخت^۲

تاریخ دریافت: ۱۳۹۹/۱۰/۲۴

تاریخ پذیرش: ۱۴۰۰/۰۳/۰۱

چکیده

ترموکمپرسور یا اجکتور به منظور افزایش آنتالپی بخار در صنایع تبدیلی مورد استفاده قرار می‌گیرد. هزینه ساخت و تعمیر نگهداری پایین در کنار ساختار ساده آن باعث افزایش کاربرد این تجهیز در زمینه‌های مرتبط با صنعت و کشاورزی شده است. پارامترهای ورودی به ترموکمپرسور شامل مشخصات ترمودینامیکی بخار محرک و بخار مکشی مهم‌ترین عوامل تاثیرگذار بر روی عملکرد یک ترموکمپرسور می‌باشند. در این مطالعه ۴ سطح فشار بخار محرک شامل بخار با فشار ۳/۷ بار، ۵ بار، ۱۰ بار و ۱۵ بار به عنوان سطوح مختلف فشار ورودی بخار محرک مورد بررسی قرار گرفته است. از مدل آشفته‌گی k-ε تحقیق‌پذیر برای شبیه‌سازی آشفته‌گی‌های داخل جریان استفاده شده است و ویژگی‌های ترمودینامیکی جریان‌های ورودی و تغییرات آن‌ها در خروجی، مانند فشار، سرعت، عدد ماخ و نسبت‌های جرمی به‌ازای فشارهای مختلف بخار محرک استخراج شده و مورد بحث قرار گرفته‌اند. نتایج نشان داد که با در نظر گرفتن پارامترهای عملکردی، عدم وجود جریان‌های بازگشتی و همچنین میزان تقویت فشار و دما، فشار ۱۵ بار بهترین عملکرد را در بین ۴ سطح اولیه مورد بررسی به‌خود اختصاص داده است. در استفاده از فشار محرک ۱۵ بار، فشار بخار مکشی ۰/۱ بار، در خروجی تقویت شد و به مقدار ۰/۳ بار افزایش پیدا کرد. همچنین دما افزایشی قابل توجهی نسبت به جریان مکشی داشت و به مقدار ۱۳۵ درجه سلسیوس رسید. همچنین با اعمال فشار بخار محرک ۱۵ بار، به ترتیب مقادیر ۰/۵۹ و ۰/۴۱ برای نسبت‌های جرمی محرک و مکشی خروجی دیفیوزر به‌دست آمد.

واژه‌های کلیدی: بخار مکشی، عدد ماخ، فرآوری قند، نسبت ورود

مقدمه

فشار متوسط و دمای بالاتر از دمای بخار مکشی خارج می‌گردد که قابلیت استفاده دوباره را دارا می‌باشد (Sharifi et al., 2012). در صورتی که پیش‌بینی دقیقی از عملکرد ترموکمپرسور انجام پذیرد، باعث افزایش بازده عملکردی آن خواهد شد، چرا که الگوهای مختلف جریان را می‌تواند ارائه نماید (Myoungkuk et al., 2010). شماتیکی از یک ترموکمپرسور به همراه بخش‌های مهم آن در شکل ۱ نشان داده شده است.

بخار مورد استفاده در کارخانجات فرآوری بعد از استفاده به علت کاهش فشار و دمای آن قابلیت خود را از دست می‌دهد و با وجود داشتن سطح متوسطی از انرژی (شامل فشار و دما) دوباره خنک‌کاری شده و به بویلر بازگردانده می‌شود و دوباره با صرف سوخت به‌صورت بخار زنده (بخار خروجی از بویلر) وارد سیستم می‌گردد. لذا استفاده از تجهیزات تقویت بخار می‌تواند سبب افزایش بازده سیستم‌های انرژی گردد. علاوه بر این، اثرات مضر زیست‌محیطی انتشار گازهای گلخانه‌ای می‌تواند با افزایش بازده سیستم‌های انرژی، کاهش یابد. افزایش بازده سیستم‌های انرژی همچنین می‌تواند باعث افزایش طول

استفاده کامل از پتانسیل بخار در کارخانه‌های فرآوری محصولات کشاورزی از جمله کارخانه‌های قند، کارخانه‌های آبیومیه و صنایع تبدیلی از جایگاه ویژه‌ای برخوردار است. ترموکمپرسورها یا اجکتورها نوع خاصی از کمپرسورها هستند که با استفاده از یک جریان محرک (اولیه) سبب افزایش فشار جریان مکشی (ثانویه) می‌شوند. در این تجهیز، از یک نازل همگرا-واگرا برای شتاب‌دهی به جریان استفاده می‌گردد. جریان محرک بعد از ورود به محفظه اختلاط، به دلیل کاهش فشار، موجب مکش جریان ثانویه می‌شود. سپس این دو جریان در طول ترموکمپرسور و طی یک فرآیند پیچیده با هم مخلوط شده و در انتهای بخش خروجی ترموکمپرسور (دیفیوزر) بخار با سطح

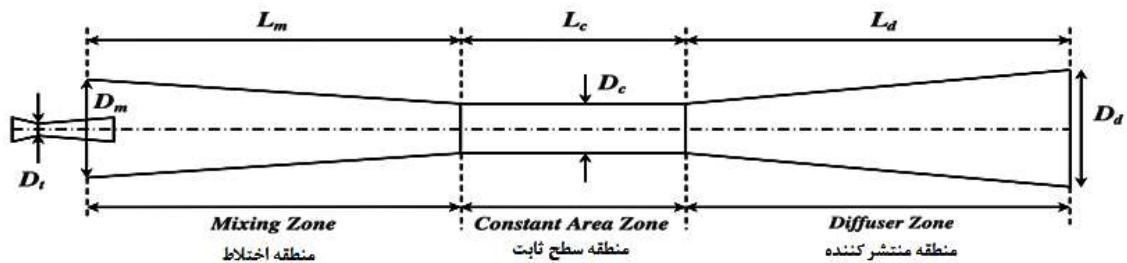
۱- استادیار گروه مکانیک بیوسیستم، دانشگاه ارومیه، ارومیه، ایران

۲- استاد گروه مکانیک بیوسیستم، دانشگاه ارومیه، ارومیه، ایران

* - نویسنده مسئول: (Email: a.rezvanivand@urmia.ac.ir)

اتلافی و بازیابی حرارت از جریان‌های انرژی به‌منظور بهبود سیستم انرژی کارخانه برای کاهش مصرف انرژی خواهد شد (Caliskan, 2017).

عمر منابع انرژی شود. اگرچه این افزایش به‌طور کلی مستلزم استفاده بیشتر از مواد، کار و دستگاه‌های پیچیده‌تر است، هزینه‌های اضافی را می‌توان با مزایای حاصل توجیه کرد. در نهایت یکپارچه‌سازی انرژی در صنایع تبدیلی محصولات کشاورزی، شامل استفاده از انرژی‌های



شکل ۱- شماتیکی از یک ترموکمپرسور به همراه بخش‌های مهم آن
Fig.1. Schematic of thermo-compressor along with main part

شده است. همچنین بخش عمده مطالعات انجام شده روی سیستم‌های خنک‌سازی اجکتوری و روش‌های طراحی برای انطباق شرایط بهتر تمرکز داشته‌اند (Riffat and Omer, 2001). اثرات آشفته‌گی بر روی الگوی جریان به‌صورت کامل توسط بارتوسویوتیز و همکاران تفسیر شده است. محققان در این مطالعه از ۶ مدل آشفته‌گی مختلف در شبیه‌سازی‌های CFD استفاده کردند و عملکرد یک اجکتور استفاده شده برای کاربردهای خنک‌سازی را ارزیابی نمودند (Bartosiewicz et al., 2006). در ادامه و در قالب مطالعاتی محققین الگوی جریان و پدیده اختلاط را با استفاده از نرم‌افزار انسیس فلوئنت تفسیر کردند (Sriveerakul et al., 2007; Aphornratana and Sriveerakul, 2010).

در ادامه، مدل‌سازی فیزیکی ترموکمپرسور برای کاربردهای نمک‌زدایی مورد بررسی قرار گرفته است. در این مطالعه کاربرد قوانین بقا در یک حجم کنترل و در نظر گرفتن اندازه‌های هندسی فیزیکی ترموکمپرسور اعمال شد. مدل برای دو ترموکمپرسور دلخواه به‌کار گرفته شد و نتایج با مدل‌های تجربی مقایسه گردید. در ادامه اختلاف بین نتایج تجربی و شبیه‌سازی در قالب خطای شبیه‌سازی عددی گزارش شد (Bonanos, 2017). در یک مطالعه عددی تأثیر مدل‌های آشفته‌گی مختلف از جمله اسپالارت آلماراس^۲، k-ε استاندارد، k-ε، RNG^۳، k-ε، تحقق‌پذیر^۴، SST^۵ و RSM^۶ را بر روی

اولین مطالعات انجام شده در زمینه بررسی ترموکمپرسورها و اجکتورها براساس تئوری کلاسیک، طراحی و تجزیه تحلیل شده‌اند (Keenan, 1942). در قالب اولین کارهای انجام شده در زمینه اجکتور، ارزیابی پارامترهای عملکردی تحت شرایط کاری متغیر انجام شده است. در این مطالعات با بهره‌گیری از معادلات مربوط به دینامیک گازها، پارامترهای مؤثر طراحی برای عملکرد یک اجکتور مانند قطر گلوگاه و موقعیت نازل اصلی تعیین می‌شوند (Dutton and Carroll, 1986; Huang et al., 1999). در این حوزه، بررسی مقایسه‌ای از عملکرد اجکتورهای استفاده شده در سیکل‌های خنک‌سازی به‌وسیله سان انجام گرفته است (Sun, 1997; Sun, 1999).

دینامیک سیالات محاسباتی (CFD^۱) با توانایی نشان دادن جزئیات میدان جریان، درک بهتری از الگوهای داخلی جریان ارائه می‌دهد. انواع کاربردهای این تکنیک، فرآیندهای اختلاط، جداسازی، حرارتی مانند انواع خشک‌کن‌ها و همچنین محدوده وسیعی از کاربردهای مهندسی و کشاورزی را شامل می‌شود. حل عددی معادلات ناویر استوکس اساس تمام تکنیک‌های CFD می‌باشد که در نتیجه پیشرفت سریع کامپیوترها و درک بهتر از حل عددی آشفته‌گی امکان‌پذیر شده است. معادلات بقا شامل سه معادله بقای جرم، مومنتوم و انرژی در جریان‌های سیال در عبارتهای معادلات دیفرانسیل با مشتقات جزئی بیان می‌گردد که راه‌حل را با روش‌های تحلیلی ارائه می‌دهد (ANSYS Fluent theory guide, 2013).

یکی از اولین پژوهش‌های انجام شده در زمینه مطالعه عددی ترموکمپرسورها و اجکتورها تعیین موقعیت محوری پهنه نازل انجام

2- Spalart Almaras
3- Renormalized Group
4- Realizable
5- Shear stress transport
6- Reynolds stress model

1- Computational Fluid Dynamics

شبیه‌سازی عددی مطالعه گردیده است. برای مدل‌سازی آشفتگی محفظه ته‌نشینی از مدل k-ε استاندارد استفاده گردید. طبق نتایج به‌دست آمده استفاده از تیغه منحرف‌کننده جریان راندمان ته‌نشینی را ۱۱/۴٪ افزایش داده و همزمان باعث کاهش ۶/۶۷٪ جریان هوای مورد نیاز سامانه می‌شود (Zobeiri et al., 2019). در یک مطالعه عددی و با استفاده از نرم‌افزار انسیس فلونت، از مدل پهن باند در قالب یک مطالعه آیرودینامیکی برای تعیین نوبز جریان پروانه‌ی ۶ پره موتور تراکتور ITM399 استفاده شده است. اختلاف بین داده‌های تجربی و شبیه‌سازی شده کم‌تر از ۱۰ درصد به‌دست آمد. نتایج نشان داد که ارزیابی عددی آکوستیکی با استفاده از نوبز پهن باند عملکرد فن را به‌صورت خوبی شبیه‌سازی نموده است (Sabralilou et al., 2019).

بنابراین با در نظر گرفتن موارد بیان شده و همچنین بررسی منابع می‌توان به این نتیجه رسید که تاکنون اثر فشار بخار محرک بر روی عملکرد ترموکمپرسور و بررسی پارامترهای ترمودینامیکی آن در جهت انتخاب مقدار مناسب مورد مطالعه قرار نگرفته است. همچنین یک ارزیابی کامل در مورد تاثیر مقدار فشار بخار محرک (شامل فشارهای ۳/۷، ۵، ۱۰ و ۱۵ بار با توجه امکان ایجاد بخار با فشارهای مذکور در کارخانه قند) بر روی وجود یا عدم وجود جریان بازگشتی در سطوح مختلف فشار محرک مورد نیاز است. لذا با در نظر گرفتن موارد بیان شده، تاثیر فشار بخار محرک و مطالعه جریان‌های بازگشتی به‌عنوان اهداف اصلی این مطالعه انتخاب شده است. در کنار این دو هدف، منحنی عملکردی ترموکمپرسور برای حالت‌های مختلف فشار بخار محرک ارائه می‌گردد.

مواد و روش‌ها

این بخش، طراحی ترموکمپرسور را به همراه شبکه‌بندی، تبیین معادلات حاکم، موارد مربوط به انتخاب حلگر و مدل آشفتگی، شرایط مرزی مورد استفاده و فرض‌های مربوط به شبیه‌سازی را شامل می‌شود. در ابتدا با توجه به اهمیت پارامترهای عملکردی در طراحی و عملکرد ترموکمپرسور، نسبت ورود (ER^۳) و نسبت تراکم (CR^۴) معرفی می‌گردد.

پارامترهای عملکردی

حالت‌های عملکردی هر ترموکمپرسور می‌تواند در سه حالت متمایز شامل خفگی دوپل^۵، خفگی منفرد^۶ و بازگشتی^۷ طبقه‌بندی

ویژگی‌های یک اجکتور فراصوت^۱ مورد بررسی قرار گرفت و با نتایج تجربی به‌دست آمده مقایسه گردید (Besagni and Inzoli, 2017). برخی از مطالعات اخیر، صرفاً بر اساس قوانین ترمودینامیک بوده است و از روش حداقل مربعات غیرخطی برای تعیین عملکرد اجکتور بدون معادلات کوپل شده و بدون شبیه‌سازی استفاده کرده‌اند (Zhu et al., 2018). در یک مطالعه عددی با فرض تراکم‌پذیر بودن سیال و با استفاده از حلگر بر پایه چگالی شبیه‌سازی عددی ترموکمپرسور بخار به‌منظور کاهش مصرف انرژی در خط تولید شکر با استفاده از CFD مورد مطالعه قرار گرفته است. در این مطالعه با استفاده از یک بخار محرک ثابت، پتانسیل بالای دینامیک سیالات محاسباتی برای شبیه‌سازی جریان‌های با عدد ماخ^۲ بالا نشان داده شده است. محققین در این مطالعه جریان بازگشتی و اثر تغییرات فشار بخار محرک را مورد مطالعه قرار نداده‌اند (Rezvanivandefanayi et al., 2019). تحلیل انرژی، اکسرژی و اقتصادی یک واحد آب شیرین‌کن مجهز به سیستم ترموکمپرسور به هدف افزایش بازده انرژی مورد مطالعه قرار گرفته است. نسبت محصول سیستم ترکیب شده با ترموکمپرسور به اندازه ۳۵ درصد بیشتر از سیستم‌های مرسوم به‌دست آمد (Chen et al., 2019). همچنین در یک مطالعه تجربی- عددی، منحنی‌های عملکرد یک ترموکمپرسور بخار به همراه بررسی اختلاط کامل جریان‌های محرک و مکشی مورد بررسی قرار گرفت. در این مطالعه، که با استفاده از نرم‌افزار انسیس فلونت ۱۵ انجام پذیرفته است، از مدل k-ε تحقق‌پذیر برای شبیه‌سازی آشفتگی جریان استفاده شد. با توجه به تراکم‌پذیر بودن جریان، از حلگر بر مبنای چگالی برای حل جریان بهره برده شد. نتایج به‌دست آمده تاییدکننده توانمندی بالای دینامیک سیالات محاسباتی برای شبیه‌سازی جریان‌های تراکم‌پذیر در داخل ترموکمپرسور می‌باشد (Rezvanivand Fanaei et al., 2021).

در زمینه کاربرد CFD در کاربردهای کشاورزی و در قالب یک مطالعه عددی، تاثیر قطر ذرات خوراک بر روی اندازه سرعت و افت فشار در داخل یک سیکلون جداکننده را مورد بررسی قرار دادند (Rezvanivandefanayi and Nikbakht, 2015). در مطالعه‌ای دیگری، جداسازی گندم با استفاده از سیکلون استرماند بازده بالا به‌صورت تجربی و عددی مورد بررسی قرار گرفته است. در این مطالعه و در ۶ سرعت مختلف ورودی مواد و همچنین ۳ دبی جرمی مختلف مشخصات داخل سیکلون از جمله بازده جداسازی، افت فشار، میدان سرعت، پارامترهای آشفتگی و سایش مورد بررسی قرار گرفت (Naimi et al., 2019). تاثیر وجود انحراف‌کننده جریان بر مشخصه‌های جریان در محفظه جداسازی نخود به‌صورت تجربی و

3- Entrainment ratio
4- Compression ratio
5- Double Choke
6- Single Choke
7- Reverse flow

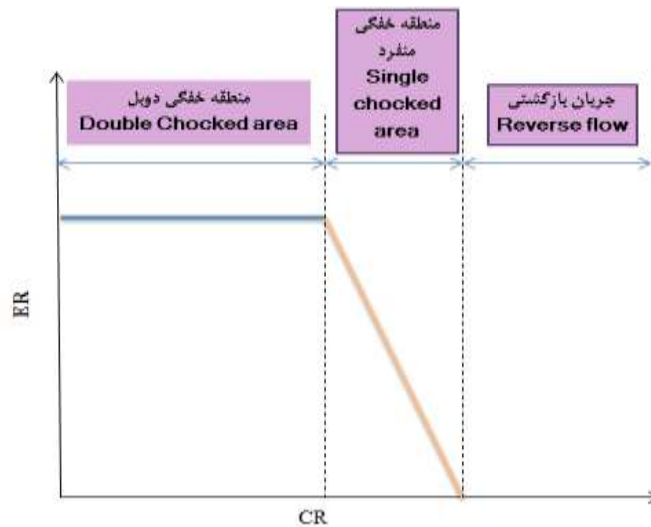
1- Supersonic
2- Mach number

$$CR = \frac{P_{dis}}{P_{suc}} \quad (2)$$

که \dot{m}_{suc} دبی جریان مکشی ($\text{kg}\cdot\text{s}^{-1}$) و \dot{m}_{mot} دبی جریان محرک ($\text{kg}\cdot\text{s}^{-1}$) می‌باشد. همچنین P_{dis} فشار تخلیه (Pa) و P_{suc} فشار مکش (Pa) می‌باشد. در ادامه و در شکل ۲ منحنی عملکردی یک ترموکمپرسور برای حالت‌های عملکردی مختلف ارائه شده است که سه حالت اتفاق افتاده در داخل ترموکمپرسور شامل حالت خفگی دوبل، خفگی منفرد و جریان بازگشتی را به ازای مقادیر مختلف ER و CR نشان می‌دهد.

شود. هر ترموکمپرسور دارای یک فشار بحرانی (بیشترین فشار تخلیه) می‌باشد، که در این شرایط یک انتقال از حالت پایدار به حالت غیرپایدار اتفاق می‌افتد. این شرایط پایدار به اسم حالت خفگی دوبل شناخته می‌شود و فشار تخلیه واقعی در وضعیت رایج کمتر از فشار بحرانی است. بنابراین پارامترهای عملکردی مانند ER و CR در این شرایط پایدار بر منحنی‌های عملکردی معمول ترموکمپرسور ارزیابی می‌شوند.

$$ER = \frac{\dot{m}_{suc}}{\dot{m}_{mot}} \quad (1)$$



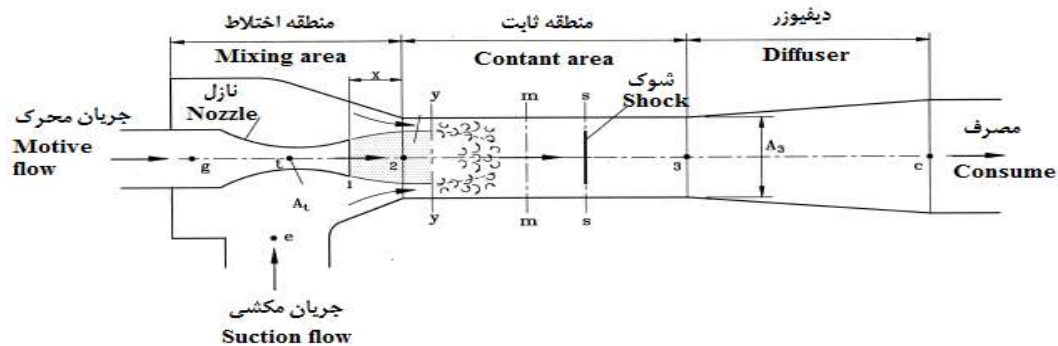
شکل ۲- منحنی عملکردی یک ترموکمپرسور با حالت‌های عملکردی مختلف

Fig.2. Schematic of thermo-compressor

روابط دینامیک گازها و در نظر گرفتن فشار و دمای ورودی و همچنین نسبت‌های جرمی برای ورودی‌های بخار محرک و مکشی محاسبه می‌شود.

طراحی ترموکمپرسور بر اساس مدل هوانگ

به منظور طراحی ترموکمپرسور از مدل تک‌بعدی هوانگ استفاده شده است (Huang et al., 1999). در مدل هوانگ طراحی ترموکمپرسور و آنالیز عملکرد ترموکمپرسور یا اجکتور بر اساس



شکل ۳- بخش‌بندی مناطق مختلف ترموکمپرسور در مدل هوانگ

Fig.3. Various section of thermo-compressor in Huang model

$$\left(\frac{A_{p1}}{A_t}\right)^2 = \frac{1}{M_{p1}^2} \left[\frac{2}{\gamma+1} \left(1 + \frac{(\gamma-1)}{2} M_{p1}^2 \right) \right]^{\frac{(\gamma+1)}{(\gamma-1)}} \quad (4)$$

$$\frac{P_g}{P_{p1}} = \left(1 + \frac{(\gamma-1)}{2} M_{p1}^2 \right)^{\frac{\gamma}{(\gamma-1)}} \quad (5)$$

بعد از استفاده از معادلات مدل یانگ، ابعاد ترموکمپرسور بر اساس شرایط ترمودینامیکی به دست آمد. این مقادیر به همراه توصیف بخش مربوطه در جدول ۱ نشان داده شده است.

رابطه (۳)، دبی جریان محرک (\dot{m}_{mot}) را به ویژگی‌های ترمودینامیکی سیال (T_g, P_g) مربوط می‌کند. جریان جرمی با سطح گلوئی نازل (A_t) متناسب است.

$$\dot{m}_{mot} = \frac{P_g A_t}{\sqrt{T_g}} \times \sqrt{\frac{\gamma}{R} \left(\frac{2}{\gamma+1} \right)^{\frac{(\gamma+1)}{(\gamma-1)}}} \sqrt{\eta_p} \quad (3)$$

که P_g فشار جریان محرک (Pa)، T_g دمای جریان محرک (K)، γ نسبت گرمایی ویژه (اتمیسیت)، R ثابت ویژه گاز ($\text{kJ.kg}^{-1}.\text{K}^{-1}$) و η_p بازده آیزنتروپیک جریان تراکم‌پذیر در نازل است. همچنین پارامترهای جریان در خروجی نازل از روابط دینامیک گازها و با استفاده از روابط (۴) و (۵) محاسبه شدند.

جدول ۱- ابعاد ترموکمپرسور طراحی شده بر اساس مدل هوانگ

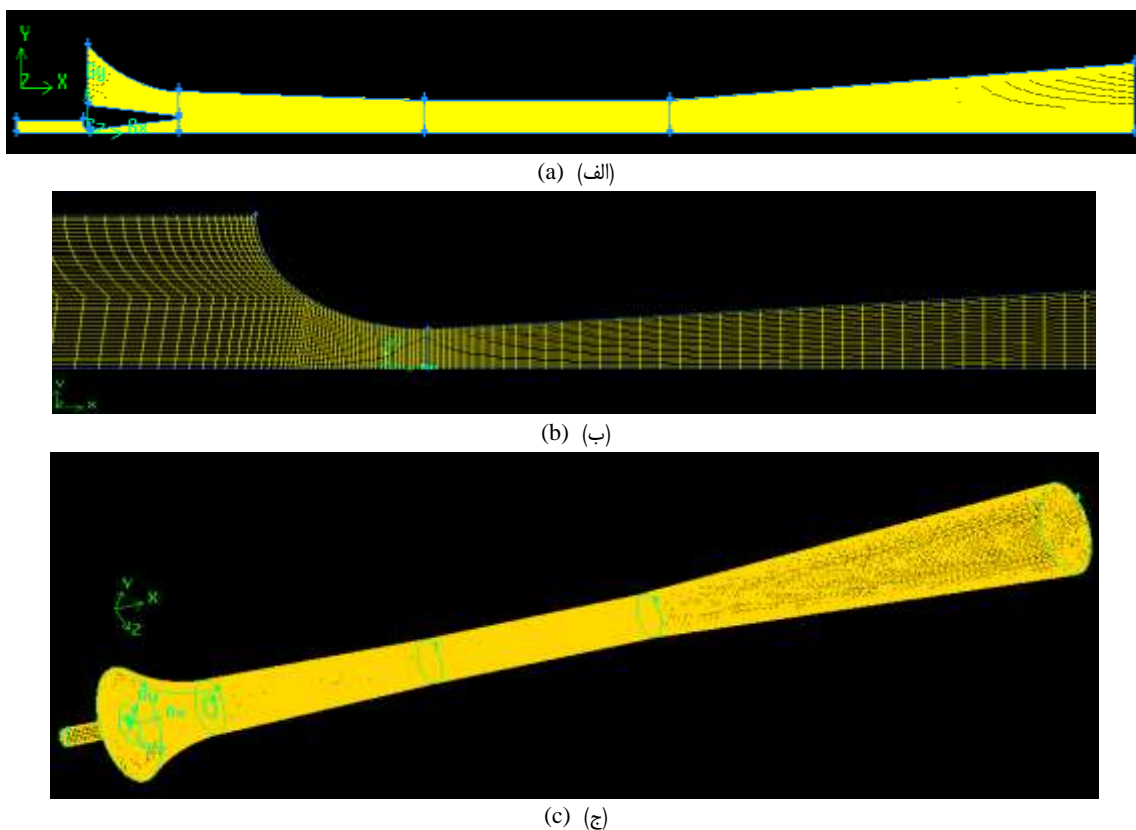
Table 1- The thermo-compressor dimensions based on Huang model

شرح Description	اندازه Value (mm)
قطر گلوئی نازل Throat diameter of nozzle (D_t)	36
قطر ورودی منطقه اختلاط Inlet diameter of mixing area (D_m)	915
طول منطقه اختلاط Mixing are length (L_m)	2140
طول منطقه ثابت Constant area length (L_c)	1425
قطر خروجی نازل Outlet diameter of nozzle (D_o)	210
قطر منطقه ثابت Constant area diameter (D_c)	485
قطر خروجی دیفیوزر Outlet diameter of diffuser (D_d)	710
طول دیفیوزر Diffuser length (L_d)	2515
طول کل Total length (L)	6080

در راستای جریان از قابلیت بالایی برای به دست آوردن نتایج عددی برخوردار است. با توجه به تحلیل دو بعدی متقارن محوری نصف هندسه ترموکمپرسور در حالت دوبعدی شبیه‌سازی شد (شکل ۴-الف). همچنین برای مشاهده بهتر تغییرات خروجی‌های مختلف به‌ازای مکان‌های مختلف (در محل‌های با گرادیان بالاتر)، در این مناطق از مش‌های ریزتر استفاده شده است (شکل ۴-ب).

شبکه‌بندی ترموکمپرسور

به منظور اعمال قوانین بقا (جرم، مومنتوم و انرژی)، هندسه ترموکمپرسور در دو حالت دوبعدی و سه‌بعدی شبکه‌بندی شدند. بدین منظور از مش نوع چهارضعی (quad) برای مش‌بندی حالت دوبعدی و از نوع مکعبی (hex) برای شبکه‌بندی حالت سه‌بعدی استفاده شد. مش‌های منظم به‌واسطه ایجاد شدن مش‌های ساختاری



شکل ۴- مش بندی ترموکمپرسور در نرم افزار گمبیت ۲، ۴، ۶؛ الف: شبکه بندی دوبعدی متقارن محوری، ب: بزرگنمایی بخش خروجی نازل، ج: شبکه بندی سه بعدی

Fig.4. Meshing of thermo-compressor in Gambit; a: 2Dimensional Axisymmetric meshing, b: magnifying of nozzle outlet, 3Dimensional meshing

معادلات حاکم در ترموکمپرسور
حالت عمومی از معادلات بقا برای سیال تراکم پذیر برای شبیه سازی الگوی داخلی جریان استفاده می شود. با در نظر گرفتن جریان سه بعدی برای بخار، معادلات بقای جرم، مومنتوم و انرژی در سیستم دکارتی به صورت روابط (۶) تا (۸) نوشته می شود:

معادلات حاکم در ترموکمپرسور

حالت عمومی از معادلات بقا برای سیال تراکم پذیر برای شبیه سازی الگوی داخلی جریان استفاده می شود. با در نظر گرفتن جریان سه بعدی برای بخار، معادلات بقای جرم، مومنتوم و انرژی در سیستم دکارتی به صورت روابط (۶) تا (۸) نوشته می شود:

$$\frac{\partial \rho}{\partial t} + \frac{\partial(\rho u_i)}{\partial x_i} = 0 \quad (6)$$

$$\frac{\partial(\rho u_i)}{\partial t} + \frac{\partial}{\partial x_j}(\rho u_i u_j) = -\frac{\partial p}{\partial x_i} + \frac{\partial \tau_{ij}}{\partial x_j} \quad (7)$$

$$\frac{\partial(\rho E)}{\partial t} + \frac{\partial}{\partial x_i}(\rho u_i E + u_i p) = \frac{\partial p}{\partial t} + \frac{\partial}{\partial x_i}(k_{eff} \frac{\partial T}{\partial x_i}) + \frac{\partial}{\partial x_i}(u_i \tau_{ij}) \quad (8)$$

$$\tau_{ij} = \mu_{eff} \left(\frac{\partial u_i}{\partial x_j} + \frac{\partial u_j}{\partial x_i} \right) - \frac{2}{3} \mu_{eff} \frac{\partial u_k}{\partial x_k} \delta_{ij} \quad (8)$$

در رابطه های فوق ρ چگالی (kg.m^{-3})، u اجزای سرعت (m.s^{-1})، τ تانسور تنش (Pa)، E انرژی کل (J)، k انرژی جنبشی آشفته

تا (۱۳) استفاده می گردد.

$$\frac{\partial \rho}{\partial t} + \frac{1}{r} \frac{\partial}{\partial r}(\rho r u_r) \frac{\partial}{\partial z}(\rho u_z) = 0 \quad (9)$$

$$\rho \left(\frac{\partial u_r}{\partial t} + u_r \frac{\partial u_r}{\partial r}(\rho r) - \frac{u_\theta^2}{r} + u_z \frac{\partial u_r}{\partial z} \right) = -\frac{\partial p}{\partial r} + \rho g_r + \mu \left[\frac{\partial}{\partial r} \left(\frac{1}{r} \frac{\partial(r u_r)}{\partial r} \right) + \left(\frac{\partial^2 u_r}{\partial z^2} \right) \right] \quad (10)$$

$$\frac{\partial}{\partial t}(\rho k) + \frac{\partial}{\partial x_i}(\rho k u_i) = \frac{\partial}{\partial x_j} \left[(\mu + \mu_t / \sigma_k) \frac{\partial k}{\partial x_j} \right] \quad (14)$$

$$+ G_k + G_b - \rho \varepsilon - Y_M + S_k$$

$$\frac{\partial}{\partial t}(\rho \varepsilon) + \frac{\partial}{\partial x_i}(\rho \varepsilon u_i) = \frac{\partial}{\partial x_j} \left[(\mu + \frac{\mu_t}{\sigma_\varepsilon}) \frac{\partial \varepsilon}{\partial x_j} \right]$$

$$+ \rho C_1 S \varepsilon - \rho C_2 \frac{\varepsilon^2}{k + \sqrt{\nu \varepsilon}} + C_{1\varepsilon} \frac{\varepsilon}{k} C_{3\varepsilon} G_b + S_\varepsilon \quad (15)$$

$$C_1 = \max \left[0.43, \frac{\eta}{\eta + 5} \right], \quad \eta = S \frac{k}{\varepsilon}, \quad S = \sqrt{2 S_{ij} S_{ij}}$$

که G_k نشان‌دهنده تولید انرژی جنبشی آشفتگی با توجه به گرادیان‌های سرعت میانگین، G_b تولید انرژی جنبشی با توجه به شناوری، Y_M نشان‌دهنده سهم نوسان در آشفتگی قابل تراکم به نرخ اتلاف (اضمحلال)، C_2 و $C_{1\varepsilon}$ مقادیر ثابت هستند. σ_ε و σ_k به ترتیب عدد پرتل آشفته برای k و ε می‌باشند. S_k و S_ε عبارت‌های منبع با توجه به انرژی جنبشی آشفته (k) و نرخ تلفات (ε) هستند. این مدل آشفته با رفتارهای نزدیک به دیواره مانند "تابع دیواره استاندارد" سازگار است. به منظور داشتن رفتار سازگار با فرض تابع دیواره استاندارد، مش‌های نزدیک به دیواره‌ها حائز اهمیت هستند (ANSYS Fluent Theory Guide, 2013).

شرایط مرزی مورد استفاده

در این مطالعه دو جریان ورودی متمایز در کنار یک جریان خروجی منفرد وجود دارد. از این رو شرط مرزی نوع "فشار ورودی" برای هر دو جریان اولیه (محرک) و ثانویه (مکشی) اعمال می‌گردد. شرایط ترمودینامیکی در این مرزها نیز در نظر گرفته می‌شود. دیواره‌های نازل و ترموکمپرسور به صورت سطوح غیرقابل نفوذ و بی‌دررو و بدون ویسکوزیته تعریف می‌گردند. همچنین از شرط مرزی تقارن برای تعریف محور استفاده می‌شود.

فرض‌های مورد استفاده در شبیه‌سازی‌ها

با در نظر گرفتن فرض گاز ایده‌آل، شبیه‌سازی‌ها دارای خطای چشم‌گیری نخواهند بود.

هیچ چگالشی در داخل هیچ‌کدام از دو جریان اتفاق نمی‌افتد. هر دو جریان، سرعت بسیار ناچیزی در شرایط سکون^۳ دارند.

$$\rho \left(\frac{\partial u_\theta}{\partial t} + u_r \frac{\partial u_\theta}{\partial r} (\rho r) + \frac{u_r u_\theta}{r} + u_z \frac{\partial u_\theta}{\partial z} \right)$$

$$= \rho g_\theta + \mu \left[\frac{\partial}{\partial r} \left(\frac{1}{r} \frac{\partial}{\partial r} (r u_\theta) \right) + \left(\frac{\partial^2 u_\theta}{\partial z^2} \right) \right] \quad (11)$$

$$\rho \left(\frac{\partial u_z}{\partial t} + u_r \frac{\partial u_z}{\partial r} + u_z \frac{\partial u_z}{\partial z} \right) - \frac{\partial p}{\partial z} + \rho g_z$$

$$= + \mu \left[\frac{1}{r} \frac{\partial}{\partial r} \left(r \frac{\partial u_z}{\partial r} \right) + \left(\frac{\partial^2 u_r}{\partial z^2} \right) \right] \quad (12)$$

$$\frac{\partial(\rho E)}{\partial t} + \frac{\partial}{\partial x_i}(\rho u_i E + u_i p) = \frac{\partial p}{\partial t} + \frac{\partial}{\partial x_i} (k_{eff} \frac{\partial T}{\partial x_i}) + \frac{\partial}{\partial x_i} (u_i \tau_{ij}) \quad (13)$$

$$\nabla \cdot \vec{u} = \frac{1}{r} \frac{\partial}{\partial r} (r u_r) + \frac{\partial}{\partial z} (u_z)$$

که r و θ مربوط به راستاهای دستگاه مختصات استوانه‌ای می‌باشد.

انتخاب حلگر

انتخاب حلگر در نرم‌افزار انسیس فلونت به عدد بی‌بعد ماخ بستگی دارد. عدد ماخ به صورت سرعت یک جسم به سرعت صوت تعریف می‌شود. در شرایطی که این عدد بیشتر از ۰/۳ باشد، آن محیط تراکم‌پذیر و در صورتی که کمتر از ۰/۳ باشد، نشان‌دهنده یک محیط تراکم‌ناپذیر است. با توجه به شرایط حل، برای محیط‌های تراکم‌پذیر از حلگر بر پایه چگالی^۱ و برای محیط‌های تراکم‌ناپذیر از حلگر بر پایه فشار^۲ استفاده می‌گردد. با توجه به توضیحات ارائه شده و با در نظر گرفتن سرعت داخل ترموکمپرسور و عدد ماخ بالای ۰/۳ از حلگر بر پایه چگالی استفاده شده است.

مدل‌سازی آشفتگی

در نظر گرفتن مدل آشفتگی مناسب از آن جهت مهم است که پدیده اختلاط دو جریان در شرایط آشفته اتفاق می‌افتد و از این رو، به صورت چشم‌گیری الگوی جریان را تحت تأثیر قرار می‌دهد. با مطالعه منابع مختلف و مقالات پیرامون این موضوع از حالت تحقیق‌پذیر مدل $k - \varepsilon$ استفاده شده است (Gagan et al., 2014; Aidoun et al., 2019). دلیل اصلی استفاده از این روش، پیش‌بینی ویژگی‌های جت ظاهر شده در رژیم‌های جریانی هم‌جهت متقارن محوری است. دو معادله حاکم اساسی این مدل به صورت رابطه (۱۴) و (۱۵) بیان می‌گردد.

جدول ۲- شرایط مرزی استفاده شده

Table 2- Used boundary conditions

مقدار یا وضعیت Boundary condition value or type	مقدار یا نوع شرط مرزی Value or condition
فشارهای ورودی بخار محرک Inlet pressures of motive flow	3.7, 5, 10 and 15 bars
دماهای ورودی بخار محرک Inlet temperatures of motive flow	141, 152, 180 and 198 °C
فشار ورودی بخار مکشی Inlet pressures of suction flow	0.1 bar
دمای ورودی بخار مکشی Inlet temperature of suction flow	46 °C
محور Axis	تقارن محوری Axisymmetric
دیواره Wall	شرایط بدون لغزش No slip condition

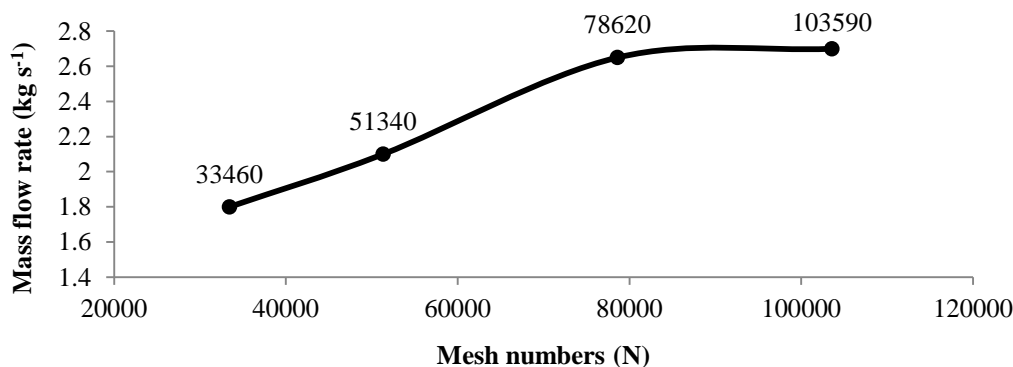
فشار بخار محرک در بین ۴ سطح فشار بخار محرک مورد بررسی از نظر عملکرد و عدم وجود جریان بازگشتی جهت استفاده برای تقویت بخار انتخاب می‌گردد.

آزمون استقلال از شبکه

به منظور بررسی مستقل بودن نتایج از تعداد مش شبکه محاسباتی سطوح مختلف شبکه بندی در محاسبات ابتدایی مورد بررسی قرار گرفت. در تحلیل دوبعدی متقارن این سطوح به ترتیب شامل ۳۳۴۶۰، ۵۱۳۴۰، ۷۸۶۲۰ و ۱۰۳۵۹۰ عدد سلول بودند. به سبب اختلاف کم تر از ۵ درصد برای دبی سیال محرک برای سطح سوم و چهارم، که نشان دهنده مستقل بودن نتایج از اندازه مش است و با در نظر گرفتن ملاحظات زمانی از شبکه با تعداد ۷۸۶۲۰ عدد مش برای شبیه سازی ها استفاده شد (شکل ۵).

نتایج و بحث

در این بخش ابتدا به بررسی آزمون استقلال از شبکه برای شبکه محاسباتی به همراه اعتبارسنجی نتایج شبیه سازی با نتایج تجربی حاصل پرداخته شده است. با توجه به استفاده از حالت دوبعدی، نمودار مربوط به سرعت برای این حالت دوبعدی و سه بعدی با یکدیگر ارائه شده است که نشان دهنده اختلاف بسیار کم بین این دو حالت است. در ادامه کانتورهای مربوط به فشار، دما، سرعت، عدد ماخ و نسبت های جرمی بخار محرک و بخار مکشی برای ۴ سطح فشار محرک با همدیگر مقایسه می‌گردد. همچنین بردارهای سرعت برای بررسی جریان های بازگشتی به ازای بخارهای محرک با فشارهای مختلف مورد بررسی قرار می‌گیرند. همچنین به عنوان یک نتیجه مهم پارامترهای عملکردی هر یک از ۴ سطح فشار محرک، در قالب منحنی های عملکردی مورد ارزیابی می‌شوند. در نهایت بهترین حالت

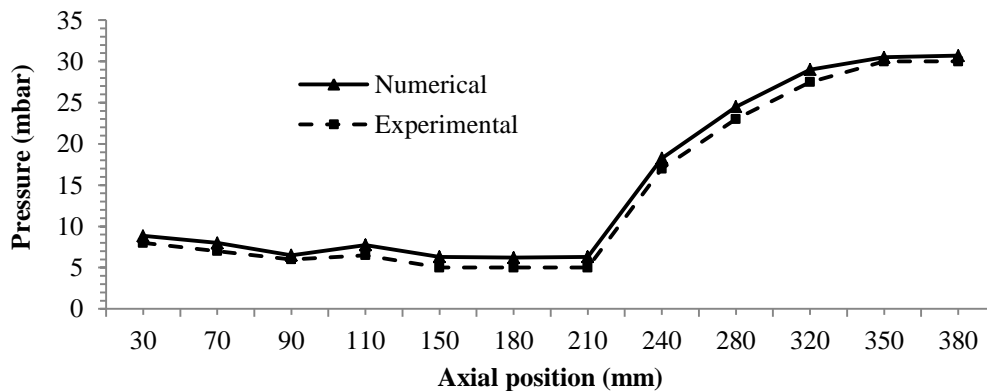


شکل ۵- آزمون استقلال از شبکه
Fig. 5. Mesh independency test

اعتبارسنجی

برای اطمینان از نتایج حاصل از شبیه‌سازی، نتایج بایستی اعتبارسنجی شوند. به منظور اعتبارسنجی نتایج عددی کار حاضر، از داده‌های تجربی مورد استفاده در مقاله سربوراکول و همکاران (Sriveerakul et al., 2007) استفاده شده است. اعتبارسنجی نشان می‌دهد که نتایج عددی حاصل از شبیه‌سازی از تطابق خوبی با داده‌های تجربی برخوردار هستند (شکل ۶).

مقایسه نتایج حالت دو بعدی متقارن با سه بعدی به دلیل این که مقایسه بین شبیه‌سازی حالت دو بعدی متقارن با حالت سه بعدی تطابق خوبی را بین نتایج سرعت نشان می‌دهد، لذا با در نظر گرفتن ملاحظات زمانی و هزینه‌های محاسباتی بیشتر شبکه سه بعدی نسبت به شبکه دو بعدی متقارن، از شبیه‌سازی عددی



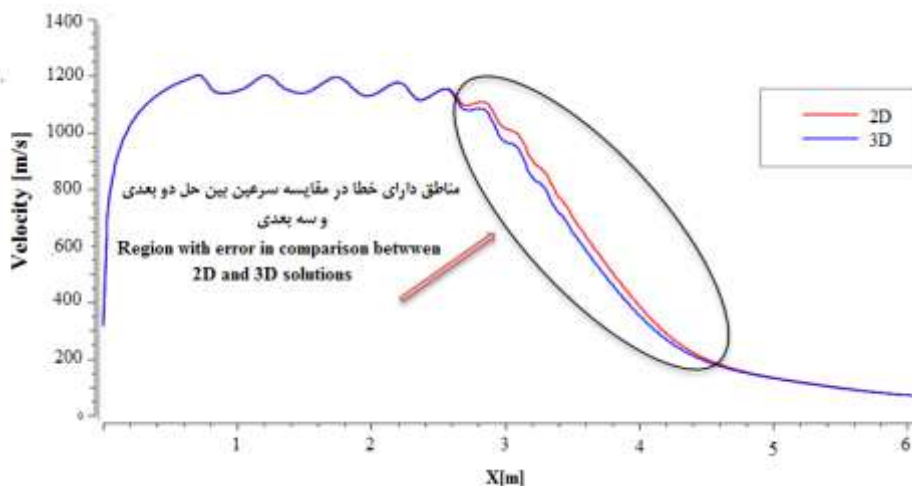
شکل ۶- اعتبارسنجی بین داده‌های تجربی و نتایج شبیه‌سازی

Fig. 6. Validation between experimental data and numerical results

دو بعدی متقارن برای مشاهده نتایج استفاده گردید. این مقایسه برای سرعت در راستای طولی در شکل ۷ نشان داده شده است. تطابق مناسب نتایج برای شبیه‌سازی حالت‌های دو بعدی و سه بعدی، در کارهای محققان دیگر نیز گزارش شده است و آن‌ها نیز از مدل دو بعدی استفاده نموده‌اند (Besagni, 2019).

مقایسه نتایج حالت دو بعدی متقارن با سه بعدی

به دلیل این که مقایسه بین شبیه‌سازی حالت دو بعدی متقارن با حالت سه بعدی تطابق خوبی را بین نتایج سرعت نشان می‌دهد، لذا با در نظر گرفتن ملاحظات زمانی و هزینه‌های محاسباتی بیشتر شبکه سه بعدی نسبت به شبکه دو بعدی متقارن، از شبیه‌سازی عددی



شکل ۷- مقایسه نمودار سرعت در راستای محور طولی ترموکمپرسور برای تحلیل‌های حالت دو بعدی و سه بعدی

Fig. 7. A Comparison of velocity plot in the longitudinal axis direction of thermo-compressor for 2D and 3D analyses

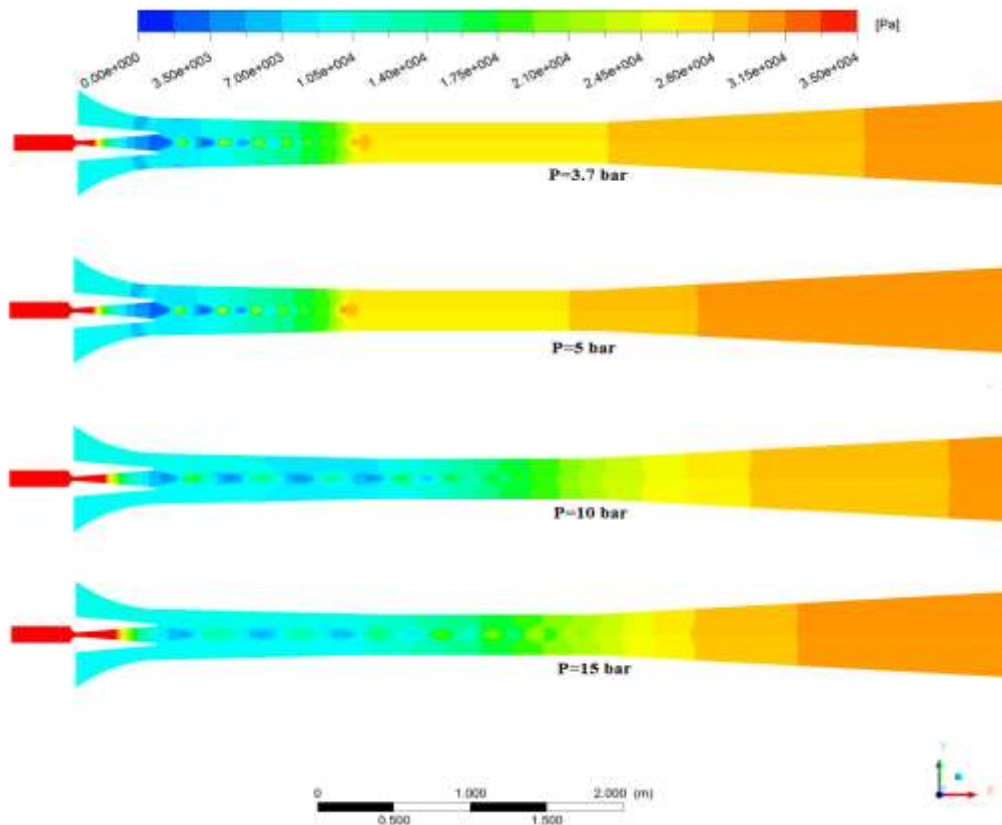
نشان داده شده است، می‌توان به این نتیجه رسید که از نقطه نظر فشار داخل ترموکمپرسور و برای شرایط مسئله، فشارهای ۱۰ و ۱۵ بار از

مقایسه کانتور فشار برای فشارهای محرک مختلف

با مقایسه مقادیر فشار برای ۴ سطح فشار محرک که در شکل ۸

ترموکمپرسور تشکیل شده است. الگوی تغییرات فشاری ایجاد شده داخل ترموکمپرسور در کارهای سایر محققین نیز تطابق خوبی با نتایج به‌دست آمده دارد (Sharifi et al., 2012). همچنین روندهای مشابهی برای کانتورهای فشار داخل ترموکمپرسور در کارهای گزارش شده وجود دارد (Ji et al., 2010).

شرایط مناسبی برای استفاده برخوردار هستند. البته از این نظر که فشار محرک ۱۵ بار طول توسعه‌یافتگی بیشتری را از نظر فشار در بخش دیفیوزر ایجاد می‌کند، در شرایطی که استفاده از هر دو فشار امکان‌پذیر باشد، می‌تواند انتخاب مطلوب‌تری باشد. الگوی فشاری جریان در داخل ترموکمپرسور مطابق با اصول دینامیک گازها ایجاد شده است. همچنین موج شوک ایجاد شده به‌واسطه الگوی هندسی



شکل ۸- کانتور فشار برای داخل ترموکمپرسور در فشارهای مختلف بخار محرک

Fig. 8. Pressure contour for within the thermo-compressor in various pressure of motive steam

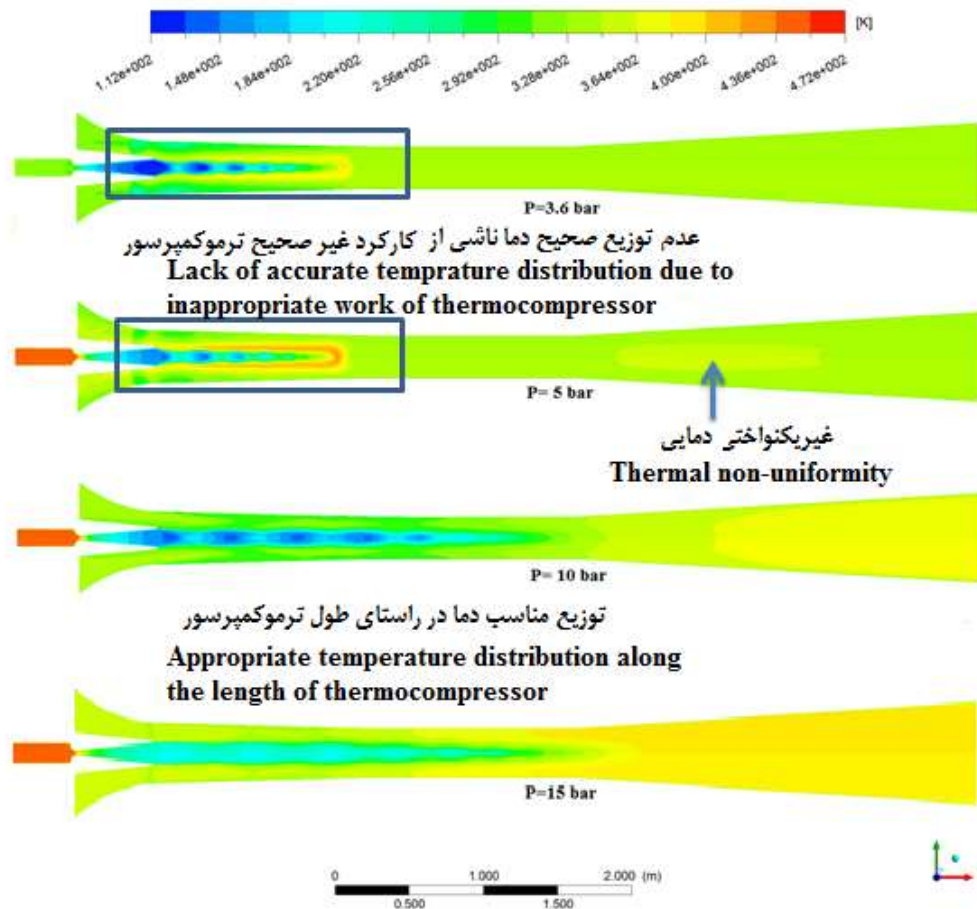
(شکل ۹).

مقایسه کانتور سرعت برای فشارهای محرک مختلف

سرعت جریان محرک بعد از خروج از بخش گلویی نازل سریعاً افزایش می‌یابد و سپس در مجاورت جریان مکشی وارد فاز اختلاط با این سیال می‌شود. با مقایسه بین مقادیر سرعت به ازای بخار محرک با فشارهای مختلف، می‌توان دریافت که بخار محرک با فشار ۱۵ بار بهترین انتخاب برای استفاده در شرایط عملی می‌باشد.

مقایسه کانتور دما برای فشارهای محرک مختلف

از نظر توزیع دمای داخل ترموکمپرسور فشار محرک ۱۵ بار، بهترین انتخاب در بین سایر فشارهای محرک استفاده شده است. در این از سطح فشار محرک، میدان دمایی در داخل ترموکمپرسور به‌خوبی توزیع شده و شرایط یکنواخت دمایی ایده‌آلی در داخل آن ایجاد شده است. البته در مرتبه دوم، فشار محرک ۱۰ بار نیز از نظر دمایی می‌تواند مورد استفاده قرار بگیرد. عدم توزیع مناسب دما در داخل ترموکمپرسور به دلیل مناسب نبودن (کم بودن) مقدار فشار بخار محرک برای کار ترموکمپرسور در شرایط مورد استفاده است



شکل ۹- کانتور دما برای داخل ترموکمپرسور در فشارهای مختلف بخار محرک

Fig. 9. Temperature contour for within the thermo-compressor in various pressure of motive steam

عملکرد کلی ترموکمپرسور را تحت‌الشعاع قرار می‌دهند. ایجاد شدن این جریان‌های چرخشی و عموماً بازگشتی سبب ایجاد نوسانات بسیاری در انتقال و اختلاط صحیح جریان‌های داخل ترموکمپرسور خواهد شد. همچنین ایجاد جریان‌های متقابل به‌خصوص در بخش مکش سبب می‌گردد که مقدار کافی از سیال مکشی به داخل ترموکمپرسور وارد نگردد و از نظر پارامترهای عملکردی باعث کاهش شدید مقدار نسبت ورود (ER) خواهد شد.

برای بخار محرک با فشار ۱۰ بار در ورودی جریان مکشی جریان بازگشتی ایجاد نشده، منتهی در نزدیکی دیواره بخش اختلاط جریان‌های چرخشی ایجاد شده‌اند که جریان‌یابی کامل را با مشکل مواجه می‌کنند. این جریان‌های چرخشی در بخش مربوط به فشار ۱۰ بار و در شکل ۱۱ قابل مشاهده‌اند. در انتها، برای بخار محرک با فشار ۱۵ بار جریان‌یابی به‌صورت کامل برای جریان‌های محرک و مکشی انجام شده و هیچ‌گونه جریان بازگشتی یا چرخشی در این وضعیت در داخل ترموکمپرسور ایجاد نشده است. لازم به ذکر است، بررسی

همان‌طور که در شکل ۱۰ نشان داده شده است، توزیع سرعت ایده‌آل در داخل ترموکمپرسور و یکنواختی بسیار خوب جریان محرک و جریان مکشی، نشان‌دهنده عملکرد بسیار خوب ترموکمپرسور در این شرایط کاری می‌باشد. همچنین از نقطه‌نظر جریان‌های بازگشتی فشارهای ۱۰ و ۱۵ شرایط بهتری دارد، که در این دو سطح نیز فشار محرک ۱۵ بار هیچ‌نوع جریان چرخشی یا ورتیسیته را در داخل ترموکمپرسور ایجاد نکرده است و از این نظر شرایط کامل مساعدی برای استفاده در شرایط عملکردی را دارا می‌باشد.

بردارهای سرعت^۱ برای فشارهای محرک مختلف

همانطوری که در شکل ۱۱ برای فشارهای محرک ۳/۷ و ۵ بار نشان داده شده است، جهت جریان در بخش مکشی به‌درستی ایجاد شده و جریان‌های چرخشی زیادی در این بخش‌ها ایجاد شده‌اند، که

1- Vector

بودن آن را نشان می‌دهد. روند مشابهی برای کانتور عدد ماخ در داخل ترموکمپرسور در سایر مطالعات انجام گرفته گزارش شده است (Ariafar and Toorani, 2012; Noori *et al.*, 2016, Sharifi and Boroomand, 2013).

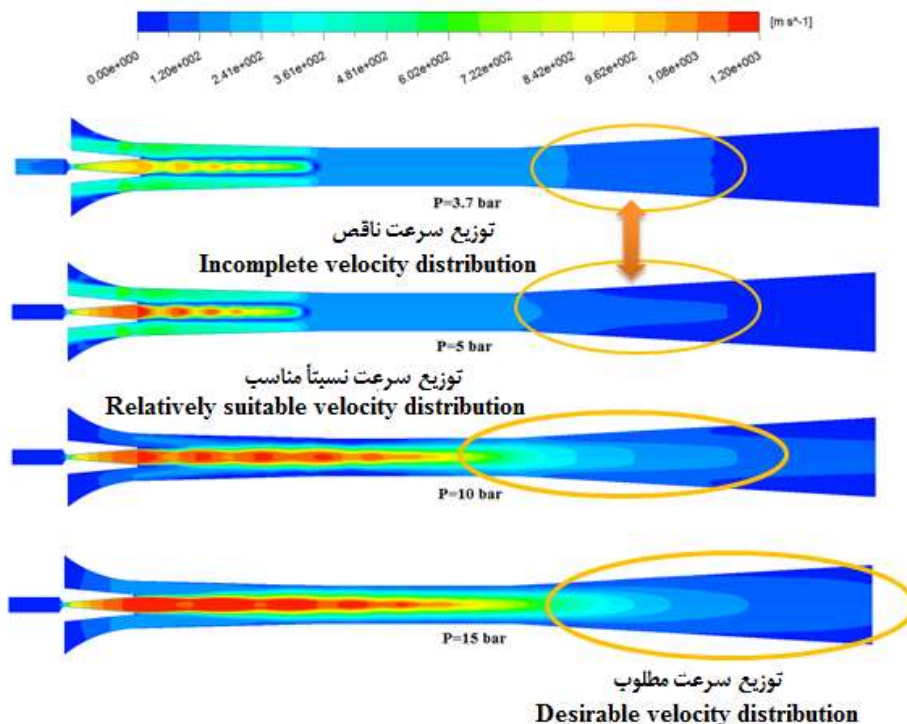
کانتور نسبت جرمی بخار محرک برای فشارهای محرک و مکشی مختلف

از نظر نسبت جرمی بخار محرک نیز فشارهای محرک ۱۰ و ۱۵ بار، شرایط مساعدی را دارا هستند. با مراجعه به شکل ۱۳ می‌توان این استنباط را داشت که فشار ۱۵ بار محرک از نظر نسبت جرمی بخار توزیع یکنواخت‌تری در بخش در تعامل با بخار مکشی در بالای محفظه اختلاط را دارا می‌باشد و با در نظر گرفتن این مورد می‌تواند انتخاب مناسب‌تری باشد. هرچند دامنه یکنواختی برای فشار ۱۰ بار دارای گستره بیشتری است. همچنین در فشار محرک ۱۵ بار توزیع نسبت جرمی بهتری از بخش‌های مکشی به داخل ترموکمپرسور ایجاد شده است. در این مورد نیز طول بخش یکنواختی نسبت جرمی بخار مکشی برای بخار محرک با فشار ۱۵ بار از نسبت جرمی مکشی بهتری نسبت به بخار محرک با فشار ۱۵ بار برخوردار است.

کانتور و بردار سرعت برای تشخیص توزیع مناسب بخار در داخل ترموکمپرسور در کارهای دیگر انجام شده که توافق خوبی با مطالعه حاضر دارد (Sharifi and Boroomand, 2013).

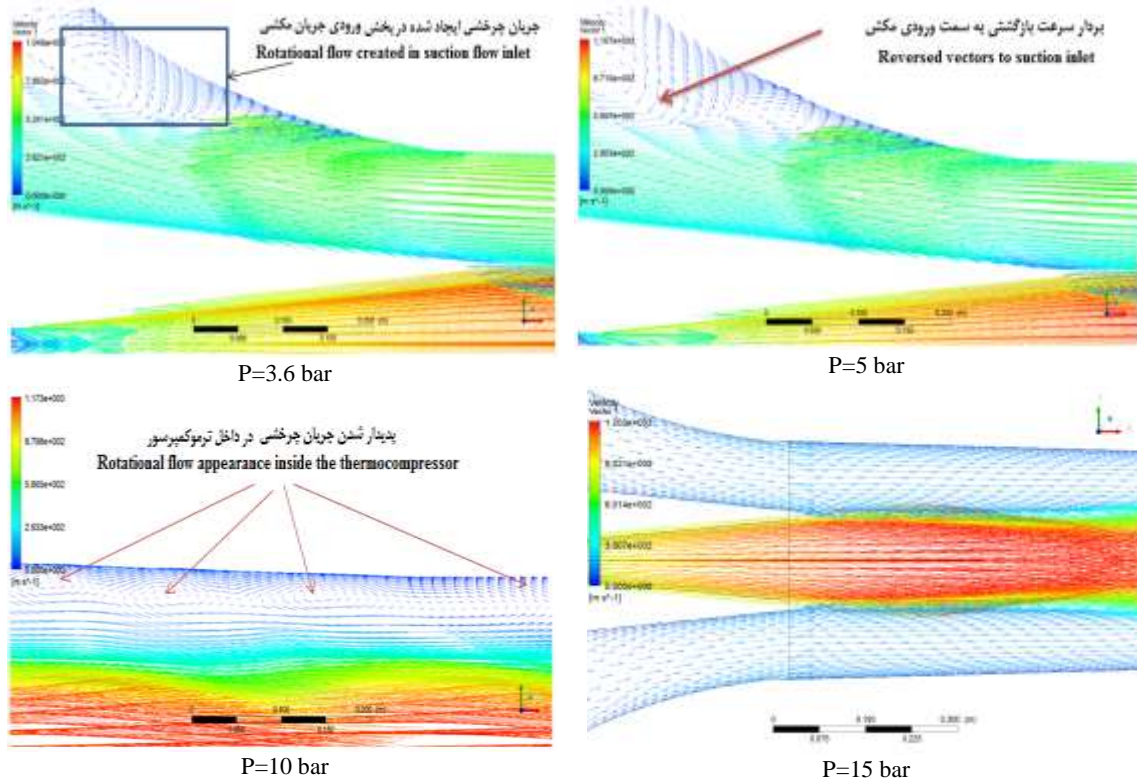
کانتور عدد ماخ برای فشارهای محرک مختلف

با توجه به ماهیت عدد ماخ، مطالعه توزیع آن می‌تواند مناطق فراصوت یا فروصوت جریان در داخل ترموکمپرسور را مشخص نماید. در رابطه با عدد ماخ نیز مشابه با سرعت، فشارهای محرک ۱۰ و ۱۵ بار شرایط خوبی را دارا بودند و در هر دوی این سطوح فشار جریان فراصوت در بخش هندسه ثابت به جریان فروصوت تبدیل شده است که نشان‌دهنده‌ی کارکرد صحیح ترموکمپرسور می‌باشد. منتهی همان‌طور که در شکل ۱۲ نشان داده شده است، فشار محرک ۱۵ بار شرایط بسیار بهتری را از نظر توزیع منظم عدد ماخ دارد. طبق بررسی‌های انجام شده، سطح بخار محرک با فشار ۱۵ بار بهترین انتخاب از نقطه نظر عدد ماخ در شرایط مسئله مورد نظر برای ترموکمپرسور است. بیشترین مقدار عدد ماخ برای ترموکمپرسور مقدار ۴/۲ است که در مناطق با تغییرات سرعت بالا (موج‌های شوک) ایجاد شده است. همچنین کمترین مقدار عدد ماخ متعلق به بخش خروجی دیفیوزر است که مقدار آن در حدود ۰/۰۵۴ می‌باشد که فروصوت

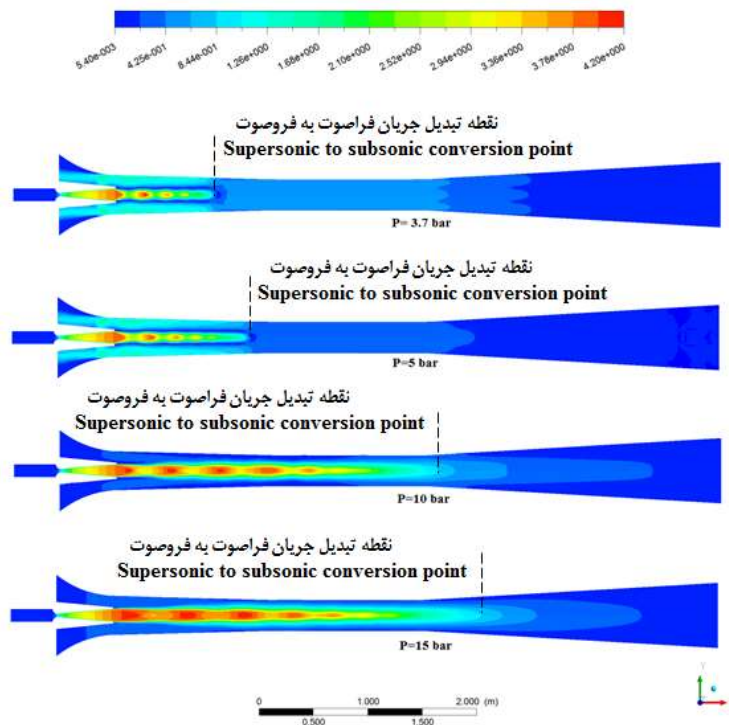


شکل ۱۰ - کانتور سرعت برای داخل ترموکمپرسور در فشارهای مختلف بخار محرک

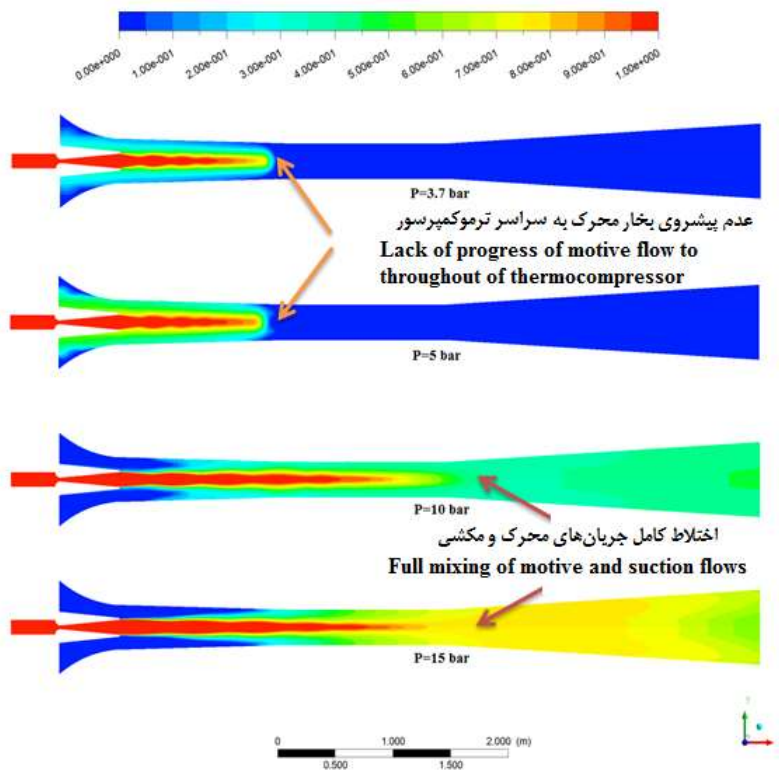
Fig. 10. Velocity contour for within the thermo-compressor in various pressure of motive steam



شکل ۱۱- بردارهای سرعت برای داخل ترموکمپرسور در فشارهای مختلف بخار محرک
Fig. 11. Vector for within the thermo-compressor in various pressure of motive steam

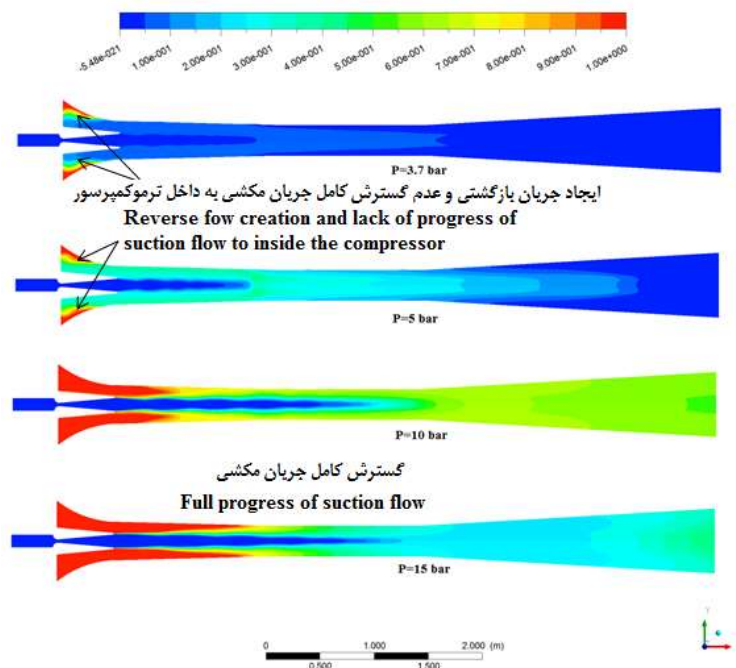


شکل ۱۲- کانتور عدد ماخ برای داخل ترموکمپرسور در فشارهای مختلف بخار محرک
Fig. 12. Mach number contour for within the thermo-compressor in various pressure of motive steam



شکل ۱۳- کانتور نسبت جرمی بخار محرک برای داخل ترموکمپرسور در فشارهای مختلف بخار محرک

Fig. 13. Mass fraction contour of motive steam for within the thermo-compressor in various pressure of motive steam



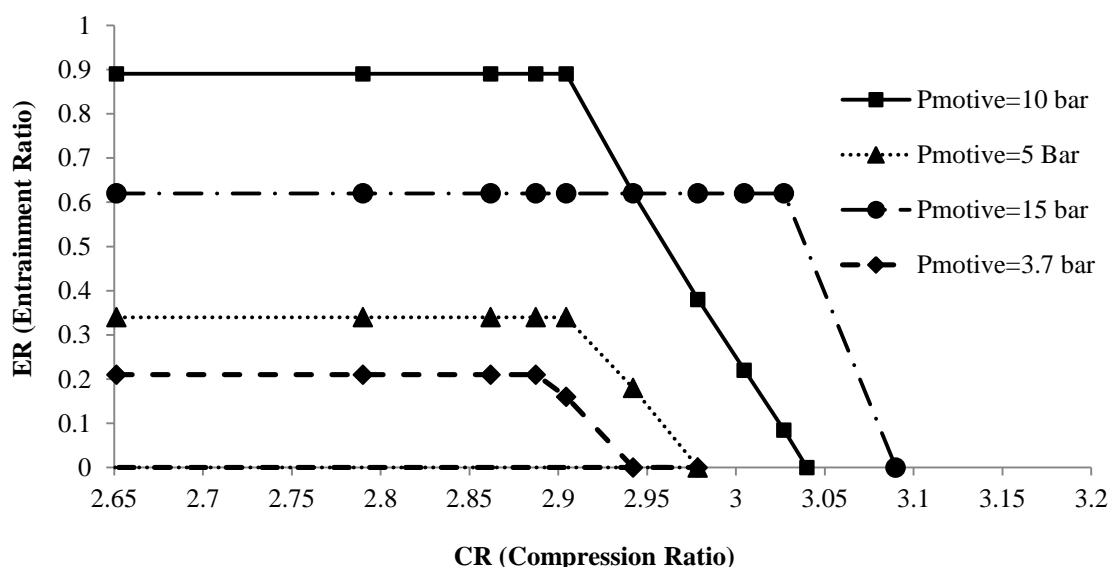
شکل ۱۴- کانتور نسبت جرمی بخار مکشی برای داخل ترموکمپرسور در فشارهای مختلف بخار محرک

Fig. 14. Mass fraction contour of suction vapor for within the thermo-compressor in various pressure of motive steam

پارامترهای عملکردی

نتایج مربوط به ویژگی‌های عملکردی یک ترموکمپرسور از اهمیت بالایی برخوردار است. بخار محرک با فشار ۱۵ بار بیشترین محدوده کار در حالت خفه‌شده دویل (بهترین حالت کاری) را دارا می‌باشد. بعد از نسبت تراکم حدود ۳، نمودار روند کاهش به خود گرفته و تا نسبت تراکم ۳/۰۹ در حالت خفه‌شده منفرد قرار دارد. در این حالت نسبت ورود ترموکمپرسور بعد از مقدار نسبت تراکم ۳/۰۹

ترموکمپرسور در حالت بازگشتی کامل قرار گرفته و میزان نسبت ورود صفر می‌گردد. روند تغییرات منحنی عملکردی برای سایر بخارهای ورودی با فشارهای مشخص در شکل ۱۵ ارائه شده است. برای بخار محرک با فشار ۱۰ بار در نسبت تراکم کمتری روند نزولی ضریب ورود آغاز می‌گردد و همچنین برای بخارهای محرک با فشار ۵ و ۳/۷ بار نسبت‌های تراکم پایین به همراه نسبت‌های ورود پایین جریان‌های بازگشتی عمده در داخل ترموکمپرسور را توجیه می‌کنند.



شکل ۱۵ - منحنی عملکردی برای ۴ حالت از بخار محرک
Fig. 15. Performance curve for 4 modes of motive steam

نتیجه‌گیری

در این مطالعه و در قالب یک بررسی عددی، تاثیر ۴ سطح فشار بخار محرک بر روی مشخصه‌های ترمودینامیکی و همچنین جریان‌های بازگشتی داخل ترموکمپرسور ارزیابی شد. همچنین پارامترهای عملکردی ترموکمپرسور در قالب نمودار عملکردی برای حالت‌های مختلف (خفگی دویل، خفگی منفرد و جریان بازگشتی) ارائه شد. اهم نتایج به‌دست آمده از تحلیل نتایج به شرح زیر است: از نظر هندسی مطالعه به دو صورت دوبعدی متقارن و سه‌بعدی مورد بررسی قرار گرفت. با مقایسه سرعت در راستای خط طولی ترموکمپرسور، مشاهده گردید که اختلاف کمی بین شبیه‌سازی دوبعدی متقارن محوری و سه‌بعدی وجود دارد. از این رو برای این که

از نظر هزینه‌های محاسباتی و زمانی صرفه‌جویی گردد، سایر نتایج برای حالت دوبعدی متقارن ارائه گردید.

تأثیر ۴ سطح از فشار بخار محرک بر روی ویژگی‌های ترمودینامیکی داخل دامنه محاسباتی ترموکمپرسور شامل فشار، دما، سرعت، عدد ماخ و نسبت‌های جرمی بخار محرک و بخار مکشی، به‌منظور به‌دست آوردن بهترین سطح از فشار محرک، به‌طور کامل مورد بررسی قرار گرفت و بهترین شرایط برای بخار محرک ورودی با فشار ۱۵ بار به‌دست آمد.

برای مطالعه جریان داخل ترموکمپرسور از نقطه نظر خفگی دویل، خفگی منفرد و جریان بازگشتی مقادیر منحنی عملکردی برای بخار محرک با فشار ۳/۷، ۵، ۱۰ و ۱۵ بار ارائه گردید.

References

1. Aphornratana, S., and T. Sriveerakul. 2010. Analysis of a combined Rankine–vapour–compression refrigeration

- cycle. *Energy Conversion and Management* 51 (12): 2557-2564. <https://doi.org/10.1016/j.enconman.2010.04.016>.
2. Ariaifar, K., and A. Toorani. 2012. Effect of Nozzle Geometry on a Model Thermocompressor Performance. 20th Annual International Conference on Mechanical Engineering 16-19.
 3. Bartosiewicz, Y., Z. Aidoun, and Y. Mercadier. 2006. Numerical assessment of ejector operation for refrigeration applications based on CFD. *Applied Thermal Engineering* 26: 604-612. <https://doi.org/10.1016/j.applthermaleng.2005.07.003>.
 4. Besagni, G., and F. Inzoli. 2017. Computational fluid-dynamics modeling of supersonic ejectors: Screening of turbulence modeling approaches. *Applied Thermal Engineering* 117: 122-144. <https://doi.org/10.1016/j.applthermaleng.2017.02.011>.
 5. Besagni, G. 2019. Ejectors on the cutting edge: The past, the present and the perspective. *Energy* 170: 998-1003. <https://doi.org/10.1016/j.energy.2018.12.214>.
 6. Bonanos, A. M. 2017. Physical modeling of thermo-compressor for desalination applications. *Desalination* 412: 13-19. <https://doi.org/10.1016/j.desal.2017.03.004>.
 7. Caliskan, H. 2017. Energy, exergy, environmental, enviroeconomic, exergoenvironmental (EXEN) and exergoenvironomic (EXENEC) analyses of solar collectors. *Renewable and Sustainable Energy Reviews* 69: 488-492. <https://doi.org/10.1016/j.rser.2016.11.203>.
 8. Chen, Q., M. K. Ja, Y. Li, and K. J. Chua. 2019. Energy, exergy and economic analysis of a hybrid spray-assisted low-temperature desalination/thermal vapor compression system. *Energy* 166: 871-885. <https://doi.org/10.1016/j.energy.2018.10.154>.
 9. Dutton, J. C., and B. F. Carroll. 1986. Optimal Supersonic Ejector Designs. *Journal of Fluids Engineering* 108: 414-420. <https://doi.org/10.1115/1.3242597>.
 10. Huang, B. J., J. M. Chang, C. P. Wang, V. A. and Petrenko. 1999. A 1-D analysis of ejector performance. *International Journal of Refrigeration* 22 (5): 354-364. [https://doi.org/10.1016/S0140-7007\(99\)00004-3](https://doi.org/10.1016/S0140-7007(99)00004-3).
 11. Inc. ANSYS. 2013. ANSYS FLUENT Theory Guide. Release 182 15317: 373-464.
 12. Ji, M., T. Utomo, J. Woo, Y. Lee, H. Jeong, and H. Chung. 2010. CFD investigation on the flow structure inside thermo vapor compressor. *Energy* 35 (6): 2694-2702. <https://doi.org/10.1016/j.energy.2009.12.002>.
 13. Keenan, J. H. 1942. A simple air ejector. *Journal of Applied Mechanics* 64: 75-81. <https://doi.org/10.1115/1.4009187>.
 14. MyoungKuk, J., T. Utomo, J. Woo, Y. H. Lee, H. M. Jeong, and H. S. Chung. 2010. CFD investigation on the flow structure inside thermo vapor compressor. *Energy* 35 (6): 2694-2702. <https://doi.org/10.1016/j.energy.2009.12.002>.
 15. Naimi, S., Gh. Shahgholi, A. Rezvanivand Fanaie, and V. Rotampour. 2019. Numerical Study of Wheat Conveying in Separator Cyclone Using Computational Fluid Dynamics. *Journal of Agricultural Machinery* 11 (2): 231-246. (In Persian). <http://dx.doi.org/10.22067/jam.v11i2.79613>.
 16. Noori, S. M., and R. Kouhikamali. 2016. CFD-aided mathematical modeling of thermal vapor compressors in multiple effects distillation units. *Applied Mathematical Modelling* 40: 6850-6868. <https://doi.org/10.1016/j.apm.2016.02.032>.
 17. Rezvanivandefanayi, A., and A. M. Nikbakht. 2015. A CFD Study of the Effects of Feed Diameter on the Pressure Drop in Acyclone Separator. *International Journal of Food Engineering* 11 (1): 71-77. <https://doi.org/10.1515/ijfe-2014-0125>.
 18. Rezvanivandefanayi, A., A. Hassanpour, and A. M. Nikbakht. 2019. Study of the vapor thermos-compressor to reduce energy consumption in the sugar production line using Computational Fluid Dynamics: *Journal of Agricultural Machinery* 10 (2): 241-253. (In Persian). <http://dx.doi.org/10.22067/jam.v10i2.76872>
 19. Rezvanivand Fanaei, A., A. M. Nikbakht, and A. Hassanpour. 2021. A Computational-Experimental Investigation of Thermal Vapor Compressor as an Energy Saving Tool for the Crystallization of Sugar in a Sugar Processing Plant. *Journal of Food Process Engineering* 44 (7): <https://doi.org/10.1111/jfpe.13727>.
 20. Riffat, S. B., and S. A. Omer. 2001. CFD modelling and experimental investigation of an ejector refrigeration system using methanol as the working fluid. *International Journal of Energy Research* 25: 115-128. <https://doi.org/10.1002/er.666>.
 21. Sabralilou, B., A. Mohebbi, E. Akbarian, A. Rezvanicand fanaei. 2019. Aero-acoustical Study of Axial Fan using Computational Fluid Dynamics. *Journal of Agricultural Machinery* 10 (2): 255-264. (In Persian). <http://dx.doi.org/10.22067/jam.v10i2.74963>
 22. Sharifi, N., M. Boroomand, and R. Kouhikamali. 2012. Wet steam flow energy analysis within thermo-compressors. *Energy* 47 (1): 609-619. <https://doi.org/10.1016/j.energy.2012.09.003>.
 23. Sharifi, N., and M. Boroomand. 2013. An investigation of thermo-compressor design by analysis and experiment : Part 2. Development of design method by using comprehensive characteristic curves. *Energy Conversion and Management* 69: 228-237. <https://doi.org/10.1016/j.enconman.2012.12.034>.
 24. Sriveerakul, T., S. Aphornratana, and K. Chunnanond. 2007. Performance prediction of steam ejector using computational fluid dynamics: Part 1. Validation of the CFD results. *International Journal of Thermal Sciences* 46

- (8): 812-822. <https://doi.org/10.1016/j.ijthermalsci.2006.10.014>.
25. Sun, D. W. 1997. Solar powered combined ejector-vapour compression cycle for air conditioning and refrigeration. *Energy Conversion and Management* 38 (5): 479-491. [https://doi.org/10.1016/S0196-8904\(96\)00063-5](https://doi.org/10.1016/S0196-8904(96)00063-5).
 26. Sun, D. W. 1999. Comparative study of the performance of an ejector refrigeration cycle operating with various refrigerants. *Energy Conversion and Management* 40: 873-884. [https://doi.org/10.1016/S0196-8904\(98\)00151-4](https://doi.org/10.1016/S0196-8904(98)00151-4).
 27. Zhu, J., F. Botticella, and S. Elbel. 2018. Experimental investigation and theoretical analysis of oil circulation rates in ejector cooling cycles. *Energy* 157: 718-733.
 28. Zobeiri, M., V. Rostampour, A. Rezvanivand Fanaei, and A. M. Nikbakht. 2019. Experimental and Numerical investigation of deviation blade effect on sedimentation chamber performance in chickpea harvesting machine. *Iran Biosystems Engineering* 52: 329-339. (In Persian). DOI: [10.22059/ijbse.2020.276317.665166](https://doi.org/10.22059/ijbse.2020.276317.665166).